

С 344.1т  
A-50

+

4195/82



Алиев Ф.К. и др.  
Б1-1-82-485

ОБЪЕДИНЕННЫЙ ИНСТИТУТ ЯДЕРНЫХ ИССЛЕДОВАНИЙ

Б1-1-82-485

ДЕПОНИРОВАННАЯ ПУБЛИКАЦИЯ

Дубна 1982

ОБЪЕДИНЕННЫЙ ИНСТИТУТ ЯДЕРНЫХ ИССЛЕДОВАНИЙ  
ЛАБОРАТОРИЯ ВЫСОКИХ ЭНЕРГИЙ

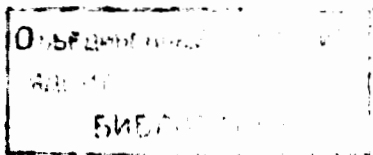
61-1-82-485

Ф.К.Алиев\*, А.А.Аскарходжаев\*, В.А.Беляков

ПРОГРАММА GLOBAL ДЛЯ ОПРЕДЕЛЕНИЯ ОПТИЧЕСКИХ  
КОНСТАНТ СИСТЕМ ФОТОГРАФИРОВАНИЯ ТРЕКОВЫХ КАМЕР

Депонированная публикация ОИЯИ

24 06 82



Дубна, 1982 год

\* Ташкентский государственный университет

## А Н Н О Т А Ц И Я

Описана программа определения оптических констант, позволяющая использовать намного более простые и доступные объемные тест-объекты по сравнению с другими известными методами. Приводятся результаты проверки программы методом Монте-Карло, что дает возможность исследовать влияние различных факторов на точность определения оптических констант.

## В В Е Д Е Н И Е

Одним из этапов обработки фильмовой информации, получаемой в трековых камерах, является геометрическая реконструкция событий по стереоснимкам. При этом предполагается, что оптические параметры (константы) используемой системы фотографирования предварительно определены с достаточной точностью. Указанные константы, как правило, включают в себя

- характеристики фотокамер;
- параметры, задающие взаимные ориентации используемых систем координат;
- характеристики промежуточных оптических сред на пути светового луча от объекта до его изображения.

Для определения оптических констант и учета систематических погрешностей разрабатываются различные методы и соответствующие программы для ЭВМ. Хотя такие программы логически не зависят от программ анализа измерений, тем не менее, они составляют часть всей системы обработки данных с трековых камер.

Как показывает опыт, используемые в настоящее время программы определения оптических констант имеют ряд недостатков, которые в той или иной степени ограничивают их применимость. Эти недостатки сводятся в основном к следующему:

- параметры оптики, найденные методами стереофотографирования, приводят к большим погрешностям при реконструкции координат меток, которые лежат вблизи базы фотографирования;
- коррекция дисторсий в предположении аксиальной симметрии оказывается грубым приближением при параметризации широкоугольных объективов, для которых нередко наблюдаются от-

- клонения от центрированной оптики;
- жесткие требования к объемному тест-объекту, заложенные, например, в известной программе *PYTHON* /<sup>1</sup>/ и других близких к ней по подходу программах, трудно обеспечить для целого ряда трековых камер;
  - разработанные методы предполагают использование сложных в изготовлении и дорогостоящих устройств /<sup>2</sup>/, которые далеко не всегда доступны.

В данной работе описана программа, свободная от вышеуказанных недостатков. В ней использован метод определения оптических констант, который был предложен <sup>в работе</sup> /<sup>3</sup>/ ~~Похожий, но другой метод изложен в работе /5/.~~ Программа *GLOBAL* определяет оптические константы задаваемые в программах геометрической реконструкции *HYDRA* и *THRESH* и предназначена для трековых камер с известными характеристиками промежуточных оптических сред.

#### Описание программы

В программе *GLOBAL* предполагается, что исследуемая система фотографирования описывается набором из  $N_k$  оптических параметров ( $N_k$  – число фотокамер), который включает в себя /<sup>4</sup>/

- $\vec{x}_3^{(k)} = (x_3, y_3, z_3)^{(k)}$  – координаты входных зрачков объективов ( $k$  – номер объектива);
- $f^{(k)}$  – расстояния от входных зрачков до плоскостей пленок;
- $(\beta_1, \beta_2, \dots, \beta_7)^{(k)}$  – параметры дисторсий.

Кроме того в программе подбираются вспомогательные параметры преобразований из систем координат тест-объектов в камерную. Если при съемках положение тест-объектов не менялось относительно объективов, то достаточно в данном случае

определить 9 параметров преобразований, которые будут общими для всех фотокамер.

Для получения экспериментальных данных используются следующие тест-объекты: "З"

- система нитей-отвесов, параллельных главным оптическим осям объективов (см. рис.1);
- плита с реперной плоскостью, которая располагается перпендикулярно оптическим осям и фотографируется в двух положениях, различающихся по высоте.

Взаимопараллельность отвесов и оптических осей, а также перпендикулярность последних реперным плоскостям достаточно обеспечить с точностью не хуже  $10^{-3}$  рад. выставлением плоскостей прижимных стекол фотокамер и реперной плиты по горизонтали с помощью слесарных уровней. Здесь предполагается, что главные оптические оси объективов нормальны плоскостям прижимных стекол.

Программа включает в себя 10 подпрограмм, работой которых управляет главная программа *GLOBAL*. В управляющей программе первоначально должно задаваться

- число фотокамер (*ICAM*);
- количество фотографируемых нитей отвесов (*NPC*);
- число меток на реперной плоскости (*NPP*);
- число меток на прижимных стеклах (*NFP*);

Затем следует чтение следующей экспериментальной информации:

- измеренные в собственных системах отсчета ( $T_{1,2,3}$ -системы) координаты  $\vec{X}_{j\tau} = (X_j, Y_j)_\tau$  нитей-отвесов, а также координаты меток на реперной плоскости, которая фотографируется на двух высотах;

- разность высот реперных плоскостей  $RZ$  ;
- измеренные в камерной системе\* (В-система) координаты  $\vec{X}_{P_B} = (X_P, Y_P)_B$  меток на прижимных стеклах;
- измеренные на снимках в системе измерительного прибора (М-система) координаты  $\vec{x}_{P_M} = (x_P, y_P)_M$  изображений меток на прижимных стеклах;
- измеренные на снимках в М-системе координаты  $x_{ijM} = (x_{ij}, y_{ij})_M$  точек на концах изображений нитей, а также координаты изображений меток на реперных плоскостях;
- ошибки соответствующих измерений  $\sigma_{\vec{X}_T}$ ,  $\sigma_{\vec{x}_M}$ ,  $\sigma_{RZ}$ ,  $\sigma_{\vec{x}_P}$ .

Первым этапом обсчета является определение параметров преобразований координат изображений из М-систем каждого из снимков в единую В-систему. Для каждой из фотокамер процедура начинается с вызова подпрограммы *MFC*, в которой подготавливаются данные для подпрограмм минимизации: число искомых параметров (*N1*), их начальные значения *A(I)*, пределы приращений в первой итерации *B(I)*, максимальное число итераций (*N3*), шаг печатаемой итерации (*ITER*), параметр *EPS*, задающий выход по точности из минимизации, число дроблений приращений в одной итерации (*N2*).

Процедура подгонки начинается с обращения к подпрограмме *MILIF*, которая по существу идентична с известной программой минимизации *FUMILI*. Вид функционала и производные по параметрам задаются в подпрограмме *PREST*. Здесь исходной информацией служат  $\vec{X}_{P_B}$  -координаты меток на прижимном стекле и измеренные  $\vec{x}_{P_M}$  -координаты их изо-

---

\* Здесь предполагается, что камерная система задана метками на прижимных стеклах. Она может быть задана также метками внутреннего ориентирования в случае жесткого фиксирования камеры относительно оптической системы.

брожений. Для оценки значений параметров  $\xi$ ,  $\zeta$ ,  $\varphi$  ориентации М-системы относительно камерной подготавливается функционал вида:

$$J^2 = W \sum_{j=1}^{N_p} [ F_{1j}^2 + F_{2j}^2 ] ; \quad (1)$$

$$F_{1j} = (x_{jp} - \xi) \cdot \cos \varphi + (y_{jp} - \zeta) \cdot \sin \varphi - X_{jp} ;$$

$$F_{2j} = - (x_{jp} - \xi) \cdot \sin \varphi + (y_{jp} - \zeta) \cdot \cos \varphi - Y_{jp} ;$$

$$W = \frac{1}{\sqrt{G_{X_p}^2 + G_{Z_p}^2}} .$$

Здесь  $N_p$  - число меток на прижимном стекле,  $W$  - весовой множитель,  $G_{X_p}$ ,  $G_{Z_p}$  - ошибки измерений. Предполагается, что линейные деформации фотоматериалов пренебрежимо малы. Минимизацией функционала (1) с помощью группы подпрограмм *MILIF* находятся параметры преобразований  $M \rightarrow B$  для всех снимков с каждой из фотокамер. Погрешности найденных параметров при достаточной статистической обеспеченности определяются в основном погрешностями  $G_{X_p}$ ,  $G_{Z_p}$  измерений на прижимных стеклах и снимках. Отметим, что в случае задания камерыной системы с помощью меток на прижимных стеклах, вклад погрешностей параметров  $\vec{A}_{M \rightarrow B} = (\xi, \zeta, \varphi)_{M \rightarrow B}$  может оказаться существенным при определении остальных оптических констант.

После того, как для каждого из снимков подобраны параметры  $\vec{A}_{M \rightarrow B}$ , в основной программе производится перевод координат изображений в камерную систему:

$$\vec{x}_B = \hat{G} (\vec{x}_M - \vec{\xi}_{M \rightarrow B}) ; \quad \hat{G} = \begin{pmatrix} \cos \varphi & \sin \varphi \\ -\sin \varphi & \cos \varphi \end{pmatrix} ;$$

$$\vec{x}_{M \rightarrow B} = (x, y)_{M \rightarrow B} ; \quad \vec{\xi}_{M \rightarrow B} = (\xi, \zeta)_{M \rightarrow B} .$$

Для преобразования экспериментальных данных из одной системы в другую используются подпрограммы *TRANS* и *RETRAN*.

Процедура определения остальных оптических констант начинается с вызова подпрограммы *OCONST*, в которой аналогично *MFC* подготавливаются данные для подпрограмм минимизации. Минимизируемый функционал и производные по параметрам подготавливаются в подпрограмме *GLOMIN*. Здесь координаты  $\vec{X}_T$  предварительно переводятся из Т-систем тест-объектов в единую В-систему с помощью параметров преобразований  $\vec{A}_{T \rightarrow B} = (X_0, Y_0, \Psi_0)_{T \rightarrow B}$ , которые в дальнейшем определяются вместе с остальными константами. Указанные преобразования имеют вид:

$$\vec{X}_B = \hat{C} (\vec{X}_T - \vec{X}_0); \quad \hat{C} = \begin{pmatrix} \cos \Psi_0 & \sin \Psi_0 \\ -\sin \Psi_0 & \cos \Psi_0 \end{pmatrix};$$

$$\vec{X}_{T,B} = (X, Y)_{T,B}; \quad \vec{X}_0 = (X_0, Y_0).$$

Минимизируемый функционал представляется как

$$J^2 = \sum_k \left\{ \sum_{ij} \left( \frac{F_i^{(k)}}{G_{F_i}} \right)_{ij}^2 + \sum_{n,e} \left[ \left( \frac{F_2^{(k)}}{G_{F_2}} \right)_{n,e}^2 + \left( \frac{F_3^{(k)}}{G_{F_3}} \right)_{n,e}^2 \right] \right\} \quad (2)$$

Здесь выражения для  $F_{1,2,3}$ , полученные в работе 3, имеют вид:

$$F_{1,ij} = \frac{(x_{ij} - x_3) \cdot (Y_j - y_3) - (Y_{ij} - y_3) (X_j - x_3) - \beta_7 \cdot (x_{ij} - x_3)^3 / f^2}{\sqrt{(X_j - x_3)^2 + (Y_j - y_3)^2}}; \quad (3)$$

$$F_{2,n,e} = \frac{f}{Z_n} X_{n,e} - x(\vec{A})_{n,e}; \quad F_{3,n,e} = \frac{f}{Z_n} Y_{n,e} - y(\vec{A})_{n,e};$$

$$x(\vec{A})_{n,e} = D \cdot x_{n,e}; \quad y(\vec{A})_{n,e} = D y_{n,e} + \beta_7 \cdot \frac{f}{Z_n} x_{n,e};$$

$$D = 1 + \beta_1 x_{n,e} + \beta_2 y_{n,e} + \beta_3 x_{n,e} y_{n,e} + \beta_4 x_{n,e}^2 + \beta_5 y_{n,e}^2 + \beta_6 (x_{n,e}^2 + y_{n,e}^2)^2.$$

В функционале  $\kappa$  - индекс фотокамеры;  $i$  - индекс точки на изображении нити;  $j$  - индекс нити;  $i = 1$  или  $2$  в зависимости от высоты реперной плоскости;  $\ell$  - индекс реперной метки;  $f$  - фокусное расстояние;  $z_h$  - высота фотографирования;

$\beta_1 \div \beta_7$  - параметры дисторсий;  $\sigma_{F_{1,2,3}}$  - ошибки. Отметим, что при условиях  $\frac{1}{\lambda} \sigma_x \ll \sigma_{\tilde{x}}$  и  $\frac{1}{\lambda} \sigma_{xz} \ll \sigma_{\tilde{x}}$  ( $\lambda$  - средний масштаб съемки), с точностью до величин более высокого порядка малости можно принять  $\sigma_{F_{1,2,3}} \approx \sigma_{\tilde{x}}$ . Это позволяет в значительной степени улучшить подгонку за счет исключения подбираемых параметров из весовых множителей. При записи функционала в виде (2) число степеней свободы  $\chi^2_{min}$  определяется как

$$P = 2N_k \cdot (2N_1 + N_h + N_B) - N_{\vec{A}}$$

где  $N_k$  - число фотокамер,  $N_1$  - число нитей,  $N_{h,B}$  - число меток на двух реперных плоскостях,  $N_{\vec{A}}$  - число искомых параметров.

Минимизация функционала (2) заканчивается при достижении заданной точности и на распечатку выводятся подобранные для всех фотокамер значения  $11 \cdot N_k$  оптических констант, 9 вспомогательных параметров преобразований систем координат, а также соответствующие погрешности. Кроме того печатается значение  $\chi^2$  в последней итерации и другая информация, позволяющая оценить степень достигнутого минимума.

Подобранные оптические параметры должны вводиться в программу геометрической реконструкции HYDRA в виде информации для блоков CAMERA (координаты входных зрачков объективов) и CORREC (параметры дисторсий).

Программа *GLOBAL* написана на языке ФОРТРАН для ЭВМ типа ЕС, все расчеты проводятся с двойной точностью.

#### Исследование работы программы

Прямая проверка работы программы была проведена на математической модели системы фотографирования стримерной камеры установки "Резонанс". Группа подпрограмм, с помощью которых осуществлялось моделирование съемки и разыгрыш ошибок измерений методом Монте-Карло, вводилась в *GLOBAL* в виде автономного функционального узла. Использованные в расчетах характеристики оптической системы и тест-объектов, а также значения подобранных и заложенных при моделировании оптических констант подробно рассмотрены в л3\_7.

Моделированный числовой материал, полученный варьированием характеристики оптики и тест-объектов, позволил исследовать зависимость подгонки параметров от различных факторов. Результаты проведенного исследования использованы при проектировании объемного тест-объекта, а также для оптимизации как метода определения констант, так и алгоритма программы. Полученные результаты сводятся в основном к следующему:

1. Функционал (2) имеет достаточно малую чувствительность к выбору начального приближения. Устойчивость подгонки сохраняется при выборе начальных значений параметров, отличающихся от заданных при моделировании более чем на 100%.
2. Программа позволяет независимо определить координаты  $x_3$ ,  $y_3$  входных зрачков фотокамер минимизацией парциального функционала  $F_1$  из выражения (2).
3. Исследована зависимость точностей определения констант от объема экспериментальных данных. На рис.2 в качестве

примера представлен график зависимости погрешностей  $\sigma_{x_3, y_3}$  от числа нитей-отвесов тест-объекта. Рис.3 иллюстрирует зависимость ошибок  $\sigma_{z_3}$  в определении  $z$ -координат входных зрачков от числа меток на реперной плоскости.

4. Показано, что погрешности параметров  $f, x_3, y_3, z_3$  линейно зависят от длины изображений нитей на снимке, что согласуется с оценками работы /<sup>4</sup>/, где указывалось, что погрешности указанных констант должны быть обратно-пропорциональными разности масштабов фотографирования. Отсюда следует, что длина фотографируемых нитей должна быть настолько большой, насколько позволяет глубина резкости объективов.
5. Значения  $\sigma_{\vec{x}_3}$  оказываются слабо зависящими от взаимного расположения оптических осей объективов и фотографируемых нитей. Например, с увеличением размеров тест-объекта изображения нитей несколько удлиняются, однако с удалением их от центра снимка соответственно растут, обусловленные ошибками измерений, отклонения продолжений отрезков от главной точки снимка.
6. Объемный тест-объект, представляющий собой систему нитей-отвесов, в принципе позволяет определять все оптические константы без применения плиты с реперными метками, для чего необходимо измерить длины фотографируемых нитей с точностью  $\frac{1}{\lambda} \sigma_{d_2} \ll \sigma_{\vec{x}}$ , где  $\sigma_{\vec{x}}$  - ошибки измерений на снимке.

В заключение авторы выражают признательность В.Ф.Вишневскому, Р.Ледницкому и С.С.Шиманскому за полезные обсуждения, а также Г.А.Глухову за помощь в работе.

Л И Т Е Р А Т У Р А

1. TC Program Library, CERN, 1968, vol. 1, 2, 3.
2. Мельниченко И.А. и др. Препринт ИТЭФ, М., 1977, № 120.
3. Алиев Ф.К. и др. Сообщение ОИЯИ, 13-81-333, Дубна, 1981.
4. Ледницкий Р. и др., Депонированная публикация ОИЯИ, Б2-10-7737, Дубна, 1974.
5. Козубский Э.В. Депонированное Сообщение ОИЯИ, Б2-II83, Дубна, 1962.

Несколько

Физика

Библиотека

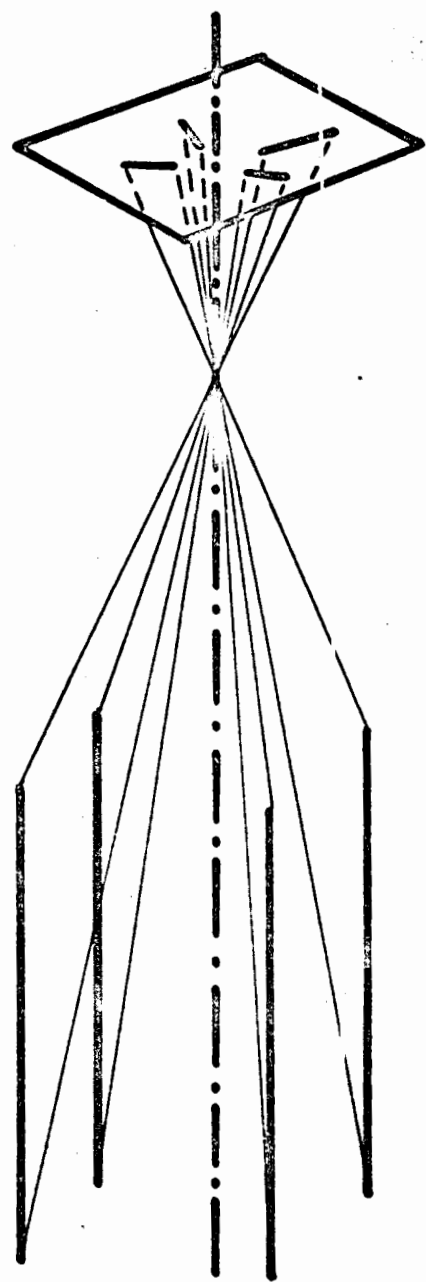


Рис.1. Фотографирование нитей-отвесов, параллельных главной оптической оси объектива.

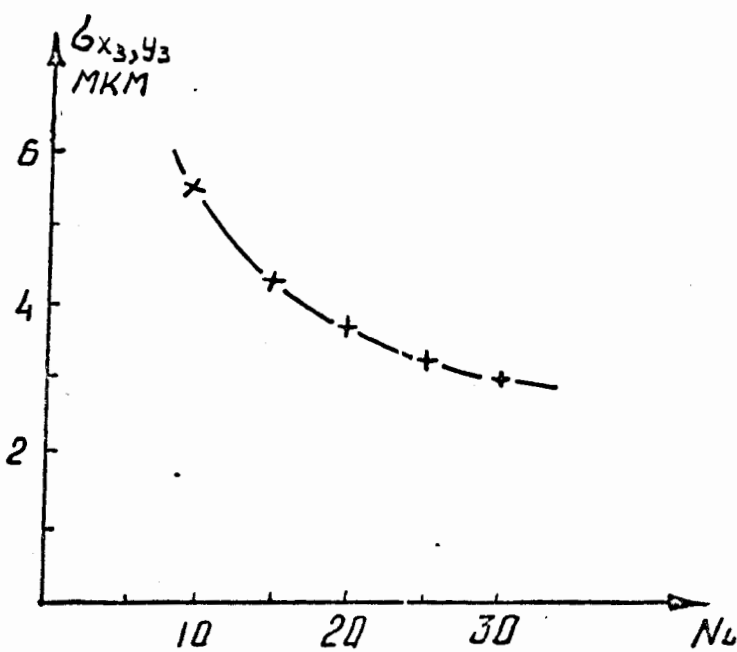


Рис.2. Зависимость погрешностей  $\sigma_{x_3, y_3}$  от числа фотографируемых нитей-отвесов.

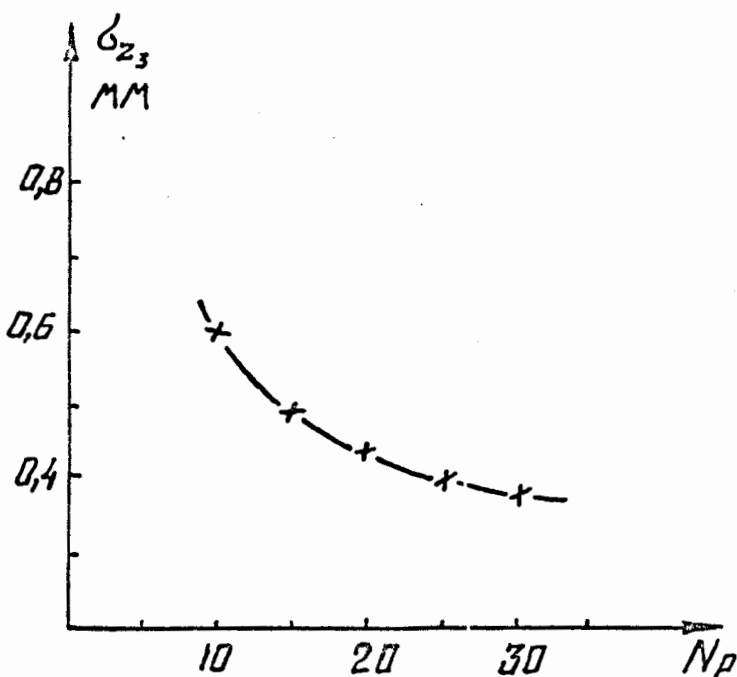


Рис.3. Зависимость погрешностей  $\sigma_{z_3}$  от числа меток на реперной плоскости.